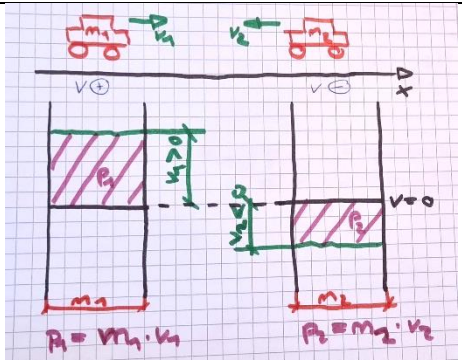
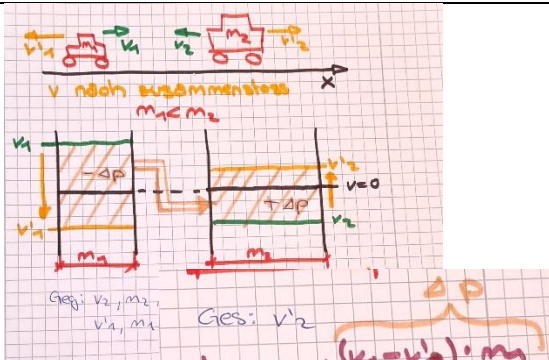


Impuls und Kraft

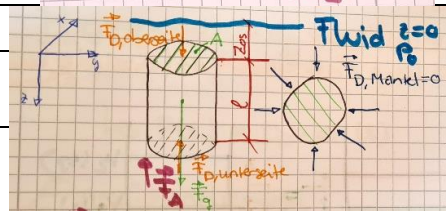
| | |
|----------------------|---|
| 1. Newtonsche Gesetz | Keine Kräfte wirken = keine Impulsänderung (bei konstanter Masse) |
| 2. Newtonsche Gesetz | $\frac{d\vec{p}}{dt} = \vec{F}_{res} = \begin{pmatrix} F_{resx} \\ F_{resy} \\ F_{resz} \end{pmatrix} = m\vec{a} = \dot{\vec{p}} = \begin{pmatrix} \dot{p}_x \\ \dot{p}_y \\ \dot{p}_z \end{pmatrix}$ |
| 3. Newtonsche Gesetz | $\vec{F}_{2 \rightarrow 1}(t) = -\vec{F}_{1 \rightarrow 2}(t)$ / actio = reaction / Impuls = Erhaltungsgröße |
| Impuls | $\vec{p} = m \cdot \vec{v} \left[\frac{kg \cdot m}{s} \text{ oder } N \cdot s \right]$ |

Impulsstrom und Impulsstrombilanz

| | |
|---|--|
|  | $\text{Impulsbilanz: } \dot{\vec{p}} = \begin{pmatrix} \dot{p}_x \\ \dot{p}_y \\ \dot{p}_z \end{pmatrix} = \sum_i \dot{\vec{I}}_{p,i} = \begin{pmatrix} \sum_i \dot{I}_{px,i} \\ \sum_i \dot{I}_{py,i} \\ \sum_i \dot{I}_{pz,i} \end{pmatrix}$ Gesamtimpuls des Systems = Summe der Impulse aller Teilsysteme |
|---|--|

| | |
|--|---|
| Flüssigkeitsmodell vor Zusammenstoß | Flüssigkeitsmodell nach Zusammenstoß |
|  |  |
| $p_1 + p_2 = p'_1 + p'_2 = m_1 v_1 + m_2 v_2 = m'_1 v'_1 + m'_2 v'_2$ | |

Auftrieb und Luftwiderstand

| | | |
|---|--|---|
| $\vec{F}_A = -m_{Fl} \cdot \vec{g} = -\rho \cdot l \cdot A \cdot \vec{g} = \text{Dichte} \cdot \text{Volumen} \cdot \text{Gravitationskraft}$ | Statische Auftriebskraft |  |
| $F_D = \frac{1}{2} \rho_{\infty} v_{\infty}^2 \cdot c_D \cdot A$ $F_L = \frac{1}{2} \rho_{\infty} v_{\infty}^2 \cdot c_L \cdot A$ | | |
| $\frac{c_D}{c_L} = \tan \gamma \text{ (Anströmung und Erdoberfläche)}$ | Auftriebskraft und Luftwiderstand | |
| $c_D = \frac{F_D}{q_{\infty} \cdot A} / c_L = \frac{F_L}{q_{\infty} \cdot A}$ | Gleitverhältnis der Widerstand und Auftriebswerte | |
| $\vec{F}_{Aero} = \vec{F}_L \perp v_{\infty} + \vec{F}_D \parallel v_{\infty}$ | Zerlegung der Aerodynamischen Kraft | |

Thermodynamische Systeme

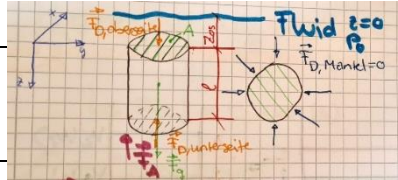
| | | | |
|---|--|---------------------------------|---|
| Massendichte ρ | $\rho \equiv \frac{m}{V}$ | spezifische Volumen v | $v \equiv \frac{V}{m} = \frac{1}{\rho}$ |
| massenspezifische innere Energie u | $u \equiv \frac{U}{m}$ $u = c_v(T) T + u_0$ | massenspezifische Enthalpie h | $h \equiv \frac{H}{m}$ |
| Fahrenheit in Celsius | $^{\circ}C = \frac{9}{5} \cdot ^{\circ}F - 32$ | Celsius in Kelvin | $K = ^{\circ}C + 273.15$ |
| Austausch von thermischer Energie (= Wärme) zwischen t_1 und t_2 | $W_{th,12} = \int_{t_1}^{t_2} I_{W,th} dt$ | | |
| Austausch von mechanischer Energie ("Arbeit") | $W_{mech,12}^{rev} = - \int_{V_1}^{V_2} p dV \text{ (reversibel, Reibungsfrei)}$ $W_{mech,12} = \int_{t_1}^{t_2} I_{W,mech} dt$ | | |

| | | | |
|---|---|------------------------------------|--|
| | | | |
| V nimmt leicht zu Druck p spielt keine Rolle | V nimmt leicht zu Druck p = p_0 ist konstant | V ist konstant Druck p nimmt zu | V nimmt stark zu Druck p = p_0 ist konstant |

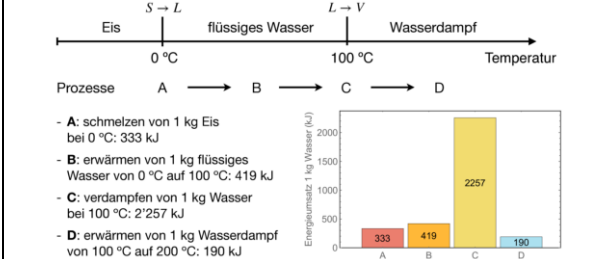
Arbeit [J] = W, Leistung [W] = P, Energie [J] = E, innere Energie [J] = U und Enthalpie [J/kg oder J/mol] = H

| | |
|--|--|
| $W_F = F \cdot \Delta s \cdot \cos\alpha = \vec{F} \cdot \Delta \vec{s}$ <p>Arbeit einer Kraft entlang eines Pfades:</p> $W_{F,s_1 \rightarrow s_2} = \int_{s_1}^{s_2} \vec{F}(s) \cdot d\vec{s}$ | |
| <p>Arbeit (Kraft parallel zur Verschiebung):</p> $W_{F,0 \rightarrow s_2} = \int_0^{s_2} dW_F = \int_0^{s_2} F(s) \cdot ds$ | |
| Leistung einer Kraft entlang eines Pfads | $P_F(t) = \vec{F}(t) \cdot \vec{v}(t)$ |
| Wirkungsgrad | $\eta = \frac{P_{\text{nutzen}}}{P_{\text{aufwand}}}$ |
| Arbeit einer Kraft bei bekannter Leistung | $W_{F,t_1 \rightarrow t_2} = \int_{t_1}^{t_2} P_F(t) dt = \int_{t_1}^{t_2} \vec{F}(t) \cdot \vec{v}(t) dt$ |
| Kinetische Energie | $E_{kin}(t_1) = \frac{1}{2} \cdot m \cdot v(t_1)^2$ |
| Änderung der Kinetischen Energie ist gleich am Körper geleistet Arbeit | $\Delta E_{kin,t_1 \rightarrow t_2} = W_{F,t_1 \rightarrow t_2}$ |
| Änderungsrate der inneren Energie eines geschlossenen Systems | $\frac{dU}{dt} = I_{W,th} + I_{W,mech}$ |
| Energiebilanz (1. Hauptsatz) geschlossene Systeme | $U(t_2) - U(t_1) = \Delta U = W_{th,12} + W_{mech,12}$ $(dU = I_{W,th} dt - p dV)$ |
| Enthalpie H | $H = U + pV$ $dH = I_{W,th} dt + V dp$ $H(t_2) - H(t_1) = H_2 - H_1 = \Delta H = W_{th,12} + \int_{p_1}^{p_2} V dp$ |
| Kalorische Zustandsgleichung $V_1 \approx V_2 = V$ | $H = m \bar{c}_p(T) T + H_0$ $H_2 - H_1 = \Delta H = m \bar{c}_p (T_2 - T_1)$ $H_2 - H_1 = \Delta H = m \bar{c}_{L/S} (T_2 - T_1) + V (p_2 - p_1)$ |
| Innere Energie | $U = V \rho u$ |
| Kalorische Zustandsgleichung | $U = m c_v(T) T + U_0$ $U_2 - U_1 = \Delta U = m \bar{c}_v (T_2 - T_1)$ $U_2 - U_1 = \Delta U = m \bar{c}_{L/S} (T_2 - T_1)$ |
| \bar{c}_v die zwischen T ₁ und T ₂ gemittelte, spezifische Wärmekapazität bei konstantem Volumen | \bar{c}_p spezifische Wärmekapazität bei konstantem Druck |
| c _L (T): Wärmekapazität Flüssigkeit («L» wegen liquid) | c _S (T): Wärmekapazität Feststoff («S» wegen solid) |

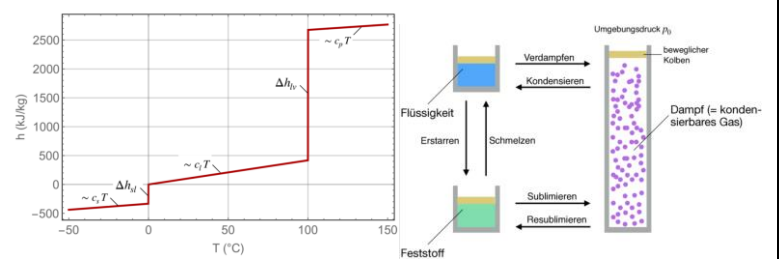
Auftrieb und Luftwiderstand

| | |
|---|--|
| $\vec{F}_A = -m_{Fl} \cdot \vec{g} = -\rho \cdot l \cdot A \cdot \vec{g} =$ <p>Dichte · Volumen · Gravitationskraft</p> | <p>Statische Auftriebskraft</p>  |
| $F_D = \frac{1}{2} \rho_{\infty} v_{\infty}^2 \cdot c_D \cdot A / F_L = \frac{1}{2} \rho_{\infty} v_{\infty}^2 \cdot c_L \cdot A$ | <p>Auftriebskraft und Luftwiderstand</p> |
| $c_D = \frac{F_D}{q_{\infty} \cdot A} / c_L = \frac{F_L}{q_{\infty} \cdot A}$ | <p>Gleitverhältnis der Widerstand und Auftriebswerte</p> $\frac{c_D}{c_L} = \tan \gamma \text{ (Anströmung und Erdoberfläche)}$ |
| $\vec{F}_{Aero} = \vec{F}_L \perp v_{\infty} + \vec{F}_D \parallel v_{\infty}$ | <p>Zerlegung der Aerodynamischen Kraft</p> |

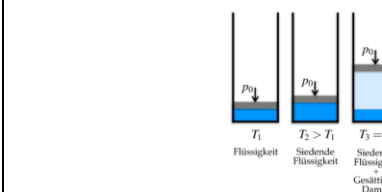
Phasenübergänge

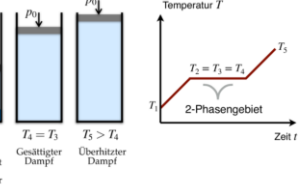


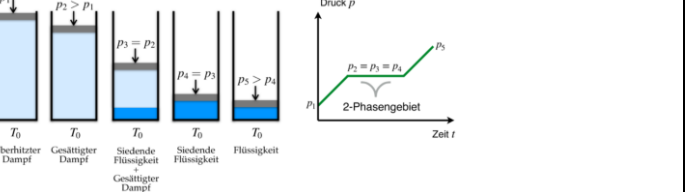
- **A:** schmelzen von 1 kg Eis bei 0 °C: 333 kJ
 - **B:** erwärmen von 1 kg flüssiges Wasser von 0 °C auf 100 °C: 419 kJ
 - **C:** verdampfen von 1 kg Wasser bei 100 °C: 2'257 kJ
 - **D:** erwärmen von 1 kg Wasserdampf von 100 °C auf 200 °C: 190 kJ



| | |
|--|---|
| Schmelzenthalpie und spezifische Schmelzenthalpie | $\Delta H_{sl} = m \cdot \Delta h_{sl}$ |
| Verdampfungsenthalpie und spezifische Verdampfungsenthalpie | $\Delta H_{lv} = m \cdot \Delta h_{lv}$ |

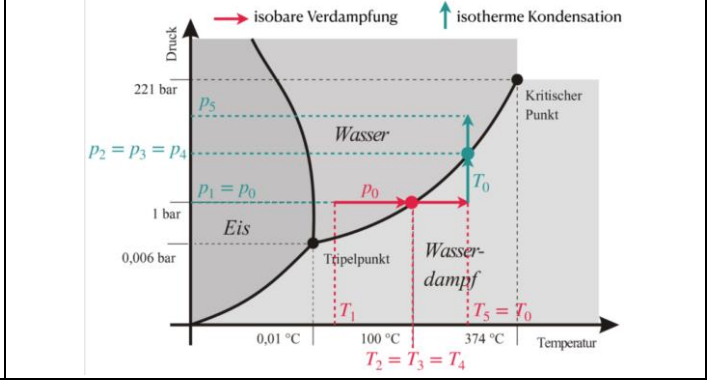






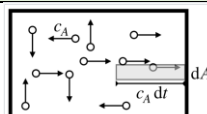
| T (°C) | p (bar) | v _l (m³/kg) | v _v (m³/kg) | h _l (kJ/kg) | h _v (kJ/kg) | Δh _{lv} = h _v - h _l |
|--------|----------|------------------------|------------------------|------------------------|------------------------|--|
| 0.01 | 0.006117 | 0.001000 | 206.015657 | 0.000612 | 2500.90 | 2500.90 |
| 5.00 | 0.008726 | 0.001000 | 147.015584 | 21.019000 | 2510.10 | 2489.08 |
| 10.00 | 0.012282 | 0.001000 | 106.303816 | 42.021000 | 2519.20 | 2477.18 |
| 15.00 | 0.017057 | 0.001001 | 77.881620 | 62.984000 | 2528.40 | 2465.42 |
| 20.00 | 0.023392 | 0.001002 | 57.700075 | 83.920000 | 2537.50 | 2453.58 |
| 25.00 | 0.031697 | 0.001003 | 43.346337 | 104.840000 | 2546.50 | 2441.66 |
| 30.00 | 0.042467 | 0.001004 | 32.883920 | 125.750000 | 2555.60 | 2429.85 |
| 35.00 | 0.056286 | 0.001006 | 25.207966 | 146.640000 | 2564.60 | 2417.96 |
| 40.00 | 0.073844 | 0.001008 | 19.516003 | 167.540000 | 2573.50 | 2405.96 |
| 45.00 | 0.095944 | 0.001010 | 15.253203 | 188.440000 | 2582.50 | 2394.06 |
| 50.00 | 0.123510 | 0.001012 | 12.027905 | 209.340000 | 2591.30 | 2381.96 |
| 55.00 | 0.157610 | 0.001015 | 9.564802 | 230.240000 | 2600.10 | 2369.86 |
| 60.00 | 0.199460 | 0.001017 | 7.667536 | 251.150000 | 2608.80 | 2357.65 |
| 65.00 | 0.250410 | 0.001020 | 6.193868 | 272.080000 | 2617.50 | 2345.42 |
| 70.00 | 0.312010 | 0.001023 | 5.039815 | 293.020000 | 2626.10 | 2333.08 |
| 75.00 | 0.385950 | 0.001026 | 4.128990 | 313.970000 | 2634.60 | 2320.63 |
| 80.00 | 0.474150 | 0.001029 | 3.405299 | 334.950000 | 2643.00 | 2308.05 |
| 85.00 | 0.578680 | 0.001032 | 2.825897 | 355.950000 | 2651.30 | 2295.35 |
| 90.00 | 0.701820 | 0.001036 | 2.359158 | 376.970000 | 2659.50 | 2282.53 |
| 95.00 | 0.846090 | 0.001040 | 1.980629 | 398.020000 | 2667.60 | 2269.58 |
| 100.00 | 1.014200 | 0.001043 | 1.671849 | 419.100000 | 2675.60 | 2256.50 |
| 110.00 | 1.433800 | 0.001052 | 1.209395 | 461.360000 | 2691.10 | 2225.74 |
| 120.00 | 1.986700 | 0.001060 | 0.891266 | 503.780000 | 2705.90 | 2202.12 |

Erklärungen
 T: Siedetemperatur bei bestimmtem p
 p: Dampfdruck bei bestimmtem T
 v_l = V_l/m_l; spezifisches Volumen der Flüssigkeit
 v_v = V_v/m_v; spezifisches Volumen des Dampfs
 h_l: spezifische Enthalpie der Flüssigkeit
 h_v: spezifische Enthalpie des Dampfs
 Δh_{lv} = h_v - h_l; Verdampfungs-Enthalpie



Das ideale Gas

| | |
|---|-----------------------------------|
| Zustandsänderungen | |
| ➤ isobare Zustandsänderungen , d. h. der Druck p bleibt konstant | |
| ➤ isochore Zustandsänderungen , d. h. das Volumen V bzw. die Dichte ρ bleiben konstant | |
| ➤ isotherme Zustandsänderungen , d. h. die Temperatur T bleibt konstant | |
| ➤ isentropische Zustandsänderungen , d. h. der Prozess verläuft reversibel (umkehrbar) und adiabat – d. h. ohne Austausch von thermischer Energie mit der Umgebung | |
| Die ideale Gasgleichung in Molenform | $pV = nRT$ |
| Avogadrozahl N _A | $N_A = 6.022 \times 10^{23}$ |
| universelle Gaskonstante | $R = 8.314 \frac{J}{mol \cdot K}$ |
| Anzahl Teilchen in einer Stoffportion | N |

| | | |
|--|---|-------------------|
| Molzahl n | $n = \frac{N}{N_A}$ | $n = \frac{m}{M}$ |
| molare Masse (Periodensystems) <i>Luft (21vol.% O₂ und 79vol.% N₂)</i> | $M_{H_2} \approx 2 \frac{g}{mol} = 2 \times 10^{-3} \frac{kg}{mol}$ $M_L \approx (0.21 \times 32 + 0.79 \times 28) \times 10^{-3} \frac{kg}{mol}$ $= 28.84 \times 10^{-3} \frac{kg}{mol}$ | |
| Die ideale Gasgleichung in Teilchenform | $pV = NkT$ | |
| Boltzmann-Konstante | $k = \frac{R}{N_A} = 1.38 \times 10^{-23} J/K$ | |
| Die ideale Gasgleichung in Massenform <i>teilen durch V die «intensive» Variante</i> | $pV = mR_S T$ $p = \rho R_S T$ | |
| spezifische Gaskonstante | $R_S \equiv \frac{R}{M}$ | |
| c_v die zwischen T_1 und T_2 gemittelte, spezifische Wärmekapazität bei konstantem Volumen | $c_v = Z R_S$ | |
| c_p spezifische Wärmekapazität bei konstantem Druck | $c_p = c_v + R_S$ $c_p = (Z + 1) R_S$ | |
| $Z = \frac{f}{2}$ | $Z = \begin{cases} 3/2 & \text{1-atomiges Gas (f = 3)} \\ 5/2 & \text{2-atomiges Gas (f = 5)} \\ 6/2 & \text{mehr-atomiges Gas (f = 6)} \end{cases}$ | |
| Kalorische Zustandsgleichung | $\Delta U = m Z R_S \Delta T / \Delta H = m (Z + 1) R_S \Delta T$ | |
| $p = \frac{1}{3} \rho c_A^2 / \frac{R}{M} T = \frac{1}{3} \rho c_A^2$ $c_A =$ mittlere Geschwindigkeit Gasatome |  | |
| kinetische Energie W_{kin} = inneren Energie U | $W_{kin} = m c_v T! = ! U$ | |

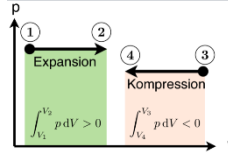
Zustandsänderungen idealer Gase

Tabelle 1: Arbeiten und Wärmen idealer Gase in geschlossenen, reversiblen Systemen

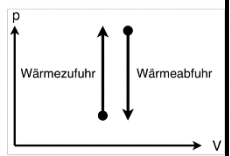
| Zustandsänderung | Zustandsgrößen | Arbeit $W_{mech,12}^{rev}$ | Wärme $W_{th,12}$ |
|---|--|--|---|
| isobar | $\frac{V}{T} = \text{const.} \Rightarrow \frac{V_2}{V_1} = \frac{T_2}{T_1}$ | $-p(V_2 - V_1)$ | $m c_p(T_2 - T_1)$ |
| isochor | $\frac{p}{T} = \text{const.} \Rightarrow \frac{p_2}{p_1} = \frac{T_2}{T_1}$ | 0 | $m c_v(T_2 - T_1)$ |
| isotherm | $pV = \text{const.} \Rightarrow \frac{p_2}{p_1} = \frac{V_1}{V_2}$ | $-m \frac{R}{M} T \ln\left(\frac{V_2}{V_1}\right)$ | $m \frac{R}{M} T \ln\left(\frac{V_2}{V_1}\right)$ |
| isotrop (adiabat-reversibel) <i>kein Wärmeaustausch mit der Umgebung</i> | $T V^{(\kappa-1)} = \text{const.} \Rightarrow \frac{T_2}{T_1} = \left(\frac{V_1}{V_2}\right)^{(\kappa-1)}$ $p V^\kappa = \text{const.} \Rightarrow \frac{p_2}{p_1} = \left(\frac{V_1}{V_2}\right)^\kappa$ $p T^{\kappa/(1-\kappa)} = \text{const.} \Rightarrow \frac{p_2}{p_1} = \left(\frac{T_1}{T_2}\right)^{\kappa/(1-\kappa)}$ | $m c_v(T_2 - T_1)$ | 0 |

Isobare Kompression und Expansion

(p,V) Diagramm eine **isobare** Expansion 1→2
isobare Kompression 3→4

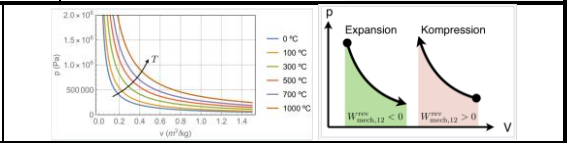


Isochore Wärmeezufuhr und -abfuhr



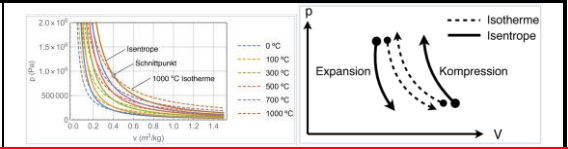
Isotherme Kompression und Expansion

(p,V) –Diagramm **Isothermen** für Luft zwischen 0°C und 1000°C mit **idealen Gasgleichung**



Isentrope Kompression und Expansion

Kompression unendlich schnell Gas verhält sich adiab (»adiabat« = kein Wärmeaustausch mit Umgebung) zusätzlich praktisch frei von dissipativen Effekten **isentropen Prozess**



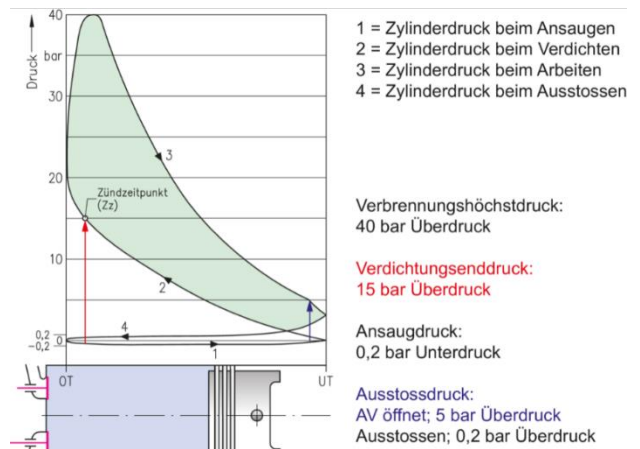
Isentropenexponent κ

$$\kappa = \frac{c_p}{c_v} \approx \frac{Z + 1}{Z}$$

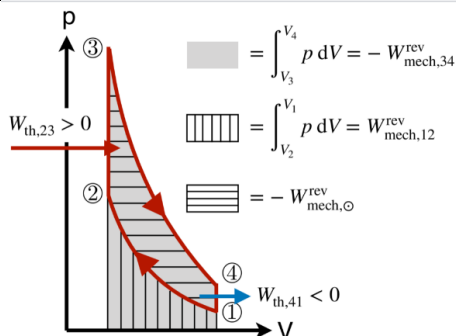
Kreisprozesse und Wirkungsgrade

$$T_1 < T_2 < T_3 > T_4 > T_1$$

| Prozessschritt | Arbeit $W_{mech,a \rightarrow b}^{rev}$ | Wärme $W_{th,a \rightarrow b}$ |
|-----------------|---|--------------------------------|
| 1 → 2: isentrop | $m c_v (T_2 - T_1) > 0$ | 0 |
| 2 → 3: isochor | 0 | $m c_v (T_3 - T_2) > 0$ |
| 3 → 4: isentrop | $m c_v (T_4 - T_3) < 0$ | 0 |
| 4 → 1: isochor | 0 | $m c_v (T_1 - T_4) < 0$ |



| | |
|--|---|
| kompletten Zyklus netto der Volumenänderungsarbeit | $W_{mech,\odot}^{rev} = W_{mech,12}^{rev} + W_{mech,34}^{rev} = -m c_v (T_3 - T_2 + T_1 - T_4) < 0$ |
| netto der thermische Energie | $W_{th,\odot} = W_{th,23} + W_{th,41} = m c_v (T_3 - T_2 + T_1 - T_4) > 0$ |
| Wärmeezufuhr > Wärmeeabfuhr | $(T_3 - T_2) > T_1 - T_4 $ |
| Energie bei Kreisprozessen | $W_{mech,\odot}^{rev} = -W_{th,\odot}$ |
| zugeführte Wärme | $W_{th,\oplus} = W_{th,23} = m c_v (T_3 - T_2)$ |
| abgeführte Wärme | $W_{th,\ominus} = W_{th,41} = m c_v (T_1 - T_4)$ |
| Zyklus netto ausgetauschte Wärme | $W_{th,\odot} = W_{th,\oplus} + W_{th,\ominus} = W_{th,\oplus} - W_{th,\ominus} $ |
| Zyklus netto ausgetauschte Volumenänderungsarbeit | $W_{mech,\odot}^{rev} = -(W_{th,\oplus} + W_{th,\ominus}) = W_{th,\ominus} - W_{th,\oplus}$ |



Die Volumendifferenz $V_h = V_1 - V_2$ bezeichnet man als den **Hubraum** eines Motors und $V_k = V_2$ ist der **Kompressionsraum** bzw. das Restvolumen. Ausserdem wird $\epsilon = V_1/V_2 = 1 + V_h/V_k > 0$ als das **Verdichtungsverhältnis** bezeichnet.
minimale Gasvolumen: $V_2 = \frac{V_1}{\epsilon}$

Isentropenbeziehungen: $p_2 = p_1 \left(\frac{V_1}{V_2}\right)^\kappa = p_1 \epsilon^\kappa$
 $T_2 = T_1 \left(\frac{V_1}{V_2}\right)^{(\kappa-1)} = T_1 \epsilon^{(\kappa-1)}$

Wirkungsgrad

$$\eta = \frac{\text{«Nutzen»}}{\text{«Aufwand»}}$$

Wirkungsgrad Ottomotor

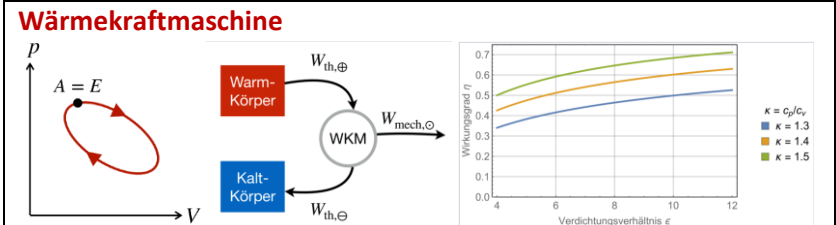
$$\eta_{\text{Otto}} = \frac{|W_{\text{mech},\odot}^{\text{rev}}|}{W_{\text{th},\oplus}} = \frac{(T_3 - T_2) + (T_1 - T_4)}{(T_3 - T_2)} = 1 - \frac{(T_4 - T_1)}{(T_3 - T_2)} < 1$$

$$\eta_{\text{Otto}} = 1 - \frac{1}{\epsilon^{\kappa-1}}$$

Isentropenexponent hat bei Verwendung von Luft als Sauerstoffquelle einen Wert von $\kappa \approx 1.4$
 $\eta_{\text{Otto, Luft}} \approx 1 - \epsilon^{-0.4}$

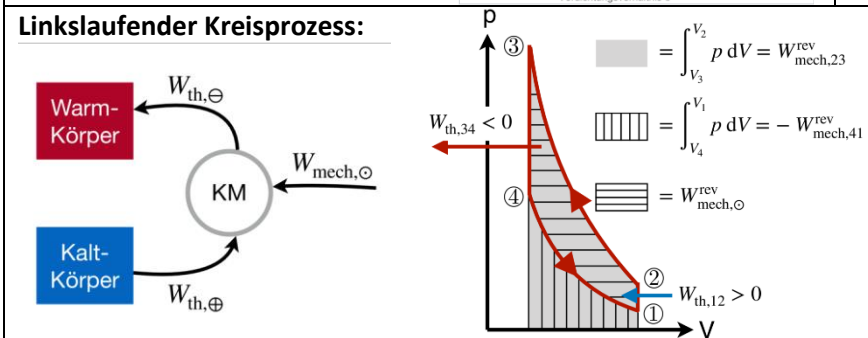
Verdichtungsverhältniss

$$\epsilon = \frac{V_1}{V_2}$$



Ersten Hauptsatzes für geschlossene, reversible Systeme (innere Energie)

$$dU = I_{W,\text{th}} dt - p dV$$

$$\oint dU = \oint I_{W,\text{th}} dt - \oint p dV = 0$$


einem Zyklus netto zu- bzw. abgeführten Wärmen:

$$\oint I_{W,\text{th}} dt = W_{\text{th},\ominus}$$

einem Zyklus netto zu- bzw. abgeführten Arbeiten:

$$\oint V dp = - \oint p dV = W_{\text{mech},\odot}^{\text{rev}}$$

| Kreisprozess | Abkürzung | Wirkungsgrad | |
|--------------------------------------|-----------|---|--|
| Wärmekraftmaschine | WKM | $\eta_{\text{WKM}} = \frac{ W_{\text{mech},\odot}^{\text{rev}} }{W_{\text{th},\oplus}} = 1 - \frac{ W_{\text{th},\ominus} }{W_{\text{th},\oplus}}$ | $0 < \eta_{\text{WKM}} < 1$ |
| Kältemaschine (Kühlschrank/Kühlraum) | KM | $\eta_{\text{KM}} = \frac{W_{\text{th},\oplus}}{W_{\text{mech},\odot}^{\text{rev}}} = \frac{ W_{\text{th},\ominus} }{W_{\text{mech},\odot}^{\text{rev}}} - 1$ | $\eta_{\text{KM}} < 1$ oder $\eta_{\text{KM}} > 1$ |
| Wärmepumpe | WP | $\eta_{\text{WP}} = \frac{ W_{\text{th},\ominus} }{W_{\text{mech},\odot}^{\text{rev}}} = 1 + \frac{W_{\text{th},\oplus}}{W_{\text{mech},\odot}^{\text{rev}}}$ | $\eta_{\text{WKM}} > 1$ |

Entropie und der 2. Hauptsatz der Thermodynamik

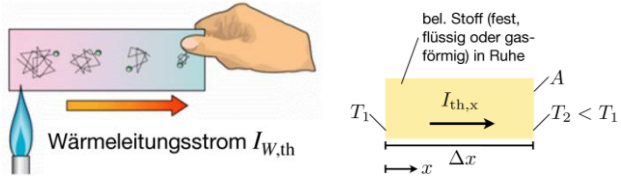
| Rechtslaufender Kreisprozess nach Carnot | | $T_1 = T_2 = T_o$ und $T_3 = T_4 = T_u$ |
|---|---|---|
| Prozessschritt | Arbeit / Wärme | |
| 1→2 | Zuführung thermischen Energie $W_{\text{th},\oplus}$ auf oberen Temperaturniveau T_o | $W_{\text{mech},\odot} = -(W_{\text{th},\oplus} + W_{\text{th},\ominus})$ $\eta_{\text{WKM,Carnot}} = 1 - \frac{ W_{\text{th},\ominus} }{W_{\text{th},\oplus}} = 1 - \frac{T_u}{T_o}$ $\eta_{\text{KM,Carnot}} = \frac{T_u}{T_o - T_u}$ $\eta_{\text{WP,Carnot}} = \frac{T_o}{T_o - T_u} > 0$ |
| 2→3 | isentropie Expansion (adiabat, ohne Austausch, th. Energie mit Umgebung) | |
| 3→4 | Abführung thermische Energie $W_{\text{th},\ominus}$ auf dem unteren Temperaturniveau T_u | |
| 4→1 | isentropie Kompression | |
| Kreisprozessarbeit | | |
| Wirkungsgrad des Carnot-Prozesses für Wärmekraftmaschinen (Best möglich WKM) | | |
| Wirkungsgrad des Carnot-Prozesses für Kältemaschinen (Best möglich KM) | | |
| Wirkungsgrad des Carnot-Prozesses für Wärmepumpe (Best möglich WP) | | |
| zu- und abgeführten Wärmen bei Carnot (Recheckflächen) | | $W_{\text{th},\oplus} = T_o \Delta S$ und $ W_{\text{th},\ominus} = T_u \Delta S$ |

| | |
|--|---|
| Der Zweite Hauptsatz in Worten Wärme kann nicht von selbst übergehen. | |
| | |
| Zweiter Hauptsatz für reversible Prozesse in geschlossenen Systemen | |
| Entropiestrom | $I_S = \frac{I_{W,th}}{T} = \frac{dS}{dt}$ und $I_{W,th} dt = T dS$ |
| Zweiten Hauptsatz der Thermodynamik | $\Delta S = S_2 - S_1 = \int_{t_1}^{t_2} \frac{I_{W,th}}{T} dt = \int_{t_1}^{t_2} I_S dt$ |
| Zweiter Hauptsatz für irreversible Prozesse in geschlossenen Systemen | |
| Auswertung des 2. HS irreversible | $\frac{dS}{dt} > \frac{I_{W,th}}{T}$ |
| Entropiestrom + Produktion von Entropie Π_S | $\frac{dS}{dt} = \frac{I_{W,th}}{T} + \Pi_S$ |
| Zweiten Hauptsatz der Thermodynamik | $\Delta S = S_2 - S_1 = \int_{t_1}^{t_2} \frac{I_{W,th}}{T} dt + \int_{t_1}^{t_2} \Pi_S dt$ |
| | <p>Die Temperaturdifferenz $(T_1 - T_2) > 0$ induziert konduktive Energie- und Entropiestrome I_{th} und I_S, wobei I_S durch die Entropieproduktion Π_S zunimmt.</p> <p>Ruhendes Medium der Länge L und mit Querschnitt A</p> $I_{th} = -\frac{A\lambda}{L} (T_2 - T_1) = \frac{A\lambda}{L} (T_1 - T_2)$ |
| «Produktion» von Entropie | $\Pi_S = I_{S,2} - I_{S,1} = \frac{A\lambda}{L} (T_1 - T_2) \left(\frac{1}{T_2} - \frac{1}{T_1} \right)$ |
| ein- und austretenden konduktiven Entropiestrome | $I_{S,1} = \frac{I_{th}}{T_1}$ und $I_{S,2} = \frac{I_{th}}{T_2}$ |
| ausgetauschte Wärme | $W_{th,12} = \int_{t_1}^{t_2} I_{W,th} dt = \int_{S_1}^{S_2} T dS$ |
| reversibel ablaufende Kreisprozesse | $W_{mech,\odot}^{rev} = -W_{th,\odot} = \oint I_{W,th} dt = \oint T dS$ |
| | |
| Entropieänderung idealer Gase als Funktion von T und V | $\Delta S = S_2 - S_1 = m \left[c_v \ln \left(\frac{T_2}{T_1} \right) + \frac{R}{M} \ln \left(\frac{V_2}{V_1} \right) \right]$ |
| Entropieänderung idealer Gase als Funktion von T und p | $\Delta S = S_2 - S_1 = m \left[c_p \ln \left(\frac{T_2}{T_1} \right) - \frac{R}{M} \ln \left(\frac{p_2}{p_1} \right) \right]$ |
| isochore Zustandsänderung $1 \rightarrow 2$ $\ln(V_2/V_1) = 0$ | $T_2 = T_1 \exp \left(\frac{S_2 - S_1}{m c_v} \right)$ |
| isobare Zustandsänderung $3 \rightarrow 4$ $\ln(p_2/p_1) = 0$ | $T_4 = T_3 \exp \left(\frac{S_4 - S_3}{m c_p} \right)$ |

Wärmetransportphänomene

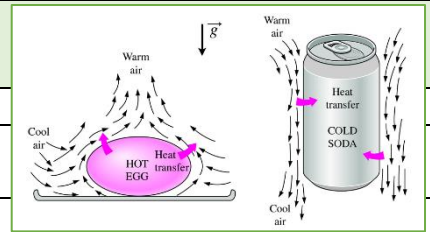
Wärmeleitung bzw. Konduktion (molekulare Ebene)

| | |
|---|--|
| Wärmestromvektor | Lokaler, intensiver, flächengemittelter Wärmeflussvektor |
| $\vec{I}_{th} = \begin{pmatrix} I_{th,x} \\ I_{th,y} \\ I_{th,z} \end{pmatrix}$ | $\frac{\vec{I}_{th}}{A} = \vec{j}_{th} = \begin{pmatrix} j_{th,x} \\ j_{th,y} \\ j_{th,z} \end{pmatrix}$ |

| | |
|---|--|
| <p>Lineare Abhängigkeit:</p> $I_{th,x} \propto A \frac{\Delta T}{\Delta x}$ <p>Proportionalität Konstante:</p> $\kappa \equiv - \frac{I_{th,x}}{A \frac{\Delta T}{\Delta x}}$ |  |
|---|--|

Fourier'sche Wärmeleitungsgesetz
(Kappa Konstante aus Tabelle)

| | |
|--------------------------------------|------------------------------------|
| $I_{th,x} = -\kappa A \frac{dT}{dx}$ | $j_{th,x} = -\kappa \frac{dT}{dx}$ |
|--------------------------------------|------------------------------------|



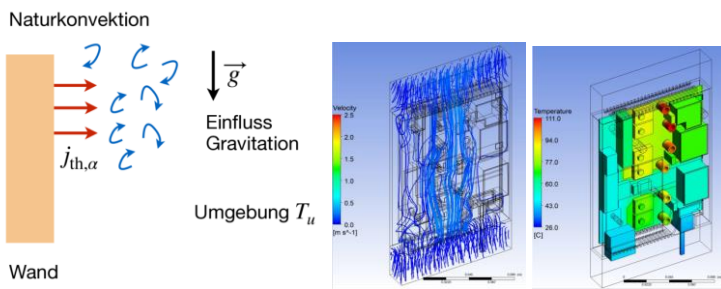
Naturkonvektion in Flüssigkeit und Gasen (Dichteunterschieden)

Erzwungene Konvektion in Flüssigkeit und Gasen

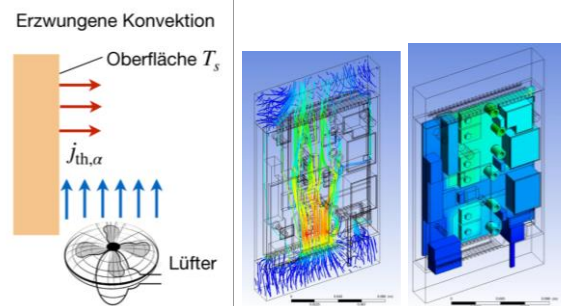
Vorteile gegenüber Naturkonvektionsströmungen:

- besser kontrollierbar
- in der Stärke einfacher veränderbar
- können Naturkonvektionsströmungen um ein Vielfaches übersteigen -> sehr effizient thermische Energie transportieren

Naturkonvektion



Erzwungene Konvektion



absoluten Wärmestrom

$$I_{th,\alpha} = A\alpha (T_s - T_u)$$

flächenspezifischer Wärmestrom

$$j_{th,\alpha} = \alpha (T_s - T_u)$$

(Wärmeübergangskoeffizient $\alpha \rightarrow$ Konstante Strömungsbedingung des Umgebungsfluids aus Tabelle)

Erzwungene Konvektion in einer Flüssigkeit:
 $100 < \alpha (W/m^2K) < 10000$
 Erzwungene Konvektion in einem Gas:
 $30 < \alpha (W/m^2K) < 300$

Naturkonvektion in einer Flüssigkeit:
 $20 < \alpha (W/m^2K) < 100$
 Naturkonvektion in einem Gas:
 $3 < \alpha (W/m^2K) < 30$

Wärmetransport über thermische Strahlung / Wärmestrahlung

Verschiedene elektro-magnetische Strahlungen nach **Wellenlänge $\lambda(\mu m)$** sortiert. Für thermische Strahlungsphänomene ist mit **primär der Infrarotbereich relevant**. (Ausnahme des Sonnenlichts)



Spektrum an (Glüh-) Farben, mit denen wir erhitze Körper in Dunkelheit wahrnehmen.

Begrifflichkeiten

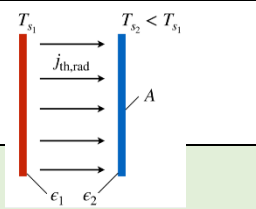
| | |
|---------------------|--|
| <i>Emission</i> | Aussenden bzw. Abgeben von thermischer Strahlung |
| <i>Absorption</i> | Aufnehmen von thermischer Strahlung |
| <i>Reflektion</i> | Spiegeln bzw. Rückstrahlen von thermischer Strahlung |
| <i>Transmission</i> | Durchlassen von thermischer Strahlung |

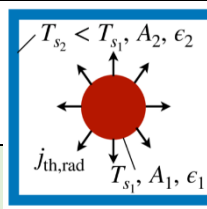
| | |
|---|--|
| Stefan-Boltzmann-Gesetz (Strahlungsenergiefluss aussenden mit Oberflächentemperatur T_s und Oberfläche A) | $I_{th,rad} = \sigma \epsilon A T_s^4$ |
|---|--|

| | |
|---|--|
| Stefan-Boltzmann'sche Strahlungskonstante | $\sigma = 5.67 \times 10^{-8} \frac{W}{m^2 K^4}$ |
|---|--|

| | |
|--|---|
| Emissivität ϵ (spezifische Emissivitäten aus Tabelle) | $\epsilon \begin{cases} = 1 & \text{Schwarzer Körper} \\ < 1 & \text{Grauer Körper} \\ = 0 & \text{Weisser Körper} \end{cases}$ |
|--|---|

Austausch von Wärmestrahlung zwischen Oberflächen (Abstand klein → min. Strahlungsverlust an Umgebung)

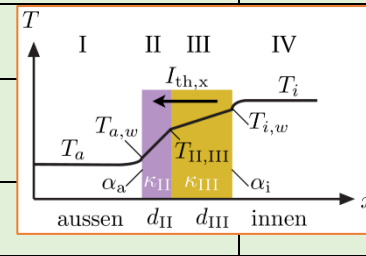




$$I_{th,rad} = \frac{\sigma A}{\frac{1}{\epsilon_1} + \frac{1}{\epsilon_2} - 1} (T_{S_1}^4 - T_{S_2}^4)$$

$$I_{th,rad} = \sigma \epsilon_1 A_1 (T_{S_1}^4 - T_{S_2}^4)$$

thermischen Reihenschaltungen



$$I_{th,x} = AU (T_i - T_a)$$

$$I_{th,x} = (T_i - T_a) / R_{th}$$

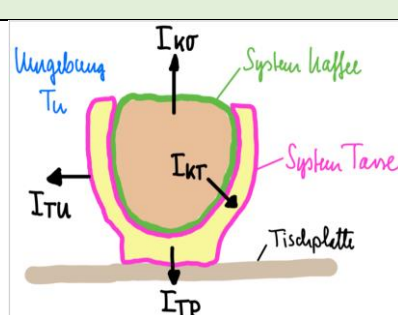
Wärmedurchgang U

$$U = \frac{1}{\frac{1}{\alpha_a} + \frac{d_{II}}{\kappa_{II}} + \frac{d_{III}}{\kappa_{III}} + \frac{1}{\alpha_i}}$$

thermischer Widerstand R_{th}

$$R_{th} = \frac{1}{A} \left(\frac{1}{\alpha_a} + \frac{d_{II}}{\kappa_{II}} + \frac{d_{III}}{\kappa_{III}} + \frac{1}{\alpha_i} \right)$$

Beispiel Kaffeetasse



| | | |
|---|-------------------------------------|-------------------------------------|
| $I_{KT} = \frac{(\bar{T}_K - \bar{T}_T)}{R_{KT}}$ | $R_{KT} \approx 4 \frac{K}{W}$ | $R_{KT} \approx 27 \frac{K}{W}$ |
| $I_{KO} = \frac{(\bar{T}_K - T_u)}{R_{KO}}$ | $R_{KO} \approx 8 - 16 \frac{K}{W}$ | $R_{KO} \approx 8 - 16 \frac{K}{W}$ |
| $I_{KO} = \frac{(\bar{T}_K - T_u)}{R_{KO}}$ | $R_{KO} \approx 2 - 4 \frac{K}{W}$ | $R_{KO} \approx 2 - 4 \frac{K}{W}$ |
| $I_{TU} = \frac{(\bar{T}_T - T_u)}{R_{TU}}$ | $R_{TU} \approx 7 - 9 \frac{K}{W}$ | $R_{TU} \approx 7 - 9 \frac{K}{W}$ |
| $I_{TP} = \frac{(\bar{T}_T - T_u)}{R_{TP}}$ | $R_{TP} \approx 44 \frac{K}{W}$ | $R_{TP} \approx 170 \frac{K}{W}$ |

Thermische Masse (absolute Wärmekapazität) $C_s \equiv m c_s = \rho V c_s$

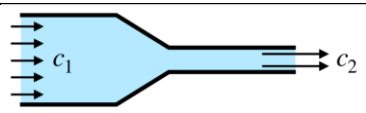
$$\frac{d\bar{T}_K}{dt} = -\frac{1}{C_K} \left(\frac{(\bar{T}_K - \bar{T}_T)}{R_{KT}} + \frac{(\bar{T}_K - T_u)}{R_{KO}} \right)$$

$$\frac{d\bar{T}_T}{dt} = \frac{1}{C_T} \left(\frac{(\bar{T}_K - \bar{T}_T)}{R_{KT}} - \frac{(\bar{T}_T - T_u)}{R_{TU}} - \frac{(\bar{T}_T - T_u)}{R_{TP}} \right)$$

Impuls und Energiebilanz bei offenen Systemen

| | |
|---|---|
| Impulsbilanz Offene Systeme | $\sum_i \vec{F}_{Ob,i} + \sum_i \vec{F}_{K,i} + \sum_i \vec{I}_{p,konv,i} = \frac{d\vec{p}}{dt}$ |
| Konvektiver Impulsstrom und Massenstrom | $\vec{I}_{p,konv} = I_m \cdot \vec{v}_m$ |
| Volumenstrom | $I_v = v \cdot A$ |
| Massenbilanz offenes System | $\sum_i I_{m,i}(t) = \dot{m}(t)$ |
| Zusammenhang Massestrom und Volumenstrom | $\vec{I}_m(t) = \rho \cdot I_v(t) = \rho \cdot c \cdot A$ c = Strömungsgeschwindigkeit |
| Bewegungsgleichung Rakete (Gravitationsfeld vernachlässigt) | $v_z(m) = c \cdot \ln \frac{m_0}{m}$ |
| Schubkraft Strahltriebwerk | $F_{Schub} = I_m \cdot (v_{out} - v_{in})$ |
| Leistung Strahltriebwerk | $P = \frac{v_{out} + v_{in}}{2} \cdot F_{Schub}$ |
| Schubkraft Mantelstromtriebwerk | $F_{Schub} = \underbrace{I_{m,K} \cdot (v_{out,K} - v_{in})}_{\text{Schub Triebwerk allein}} + \underbrace{I_{m,M} \cdot (v_{out,M} - v_{in})}_{\text{Zusatzschub Mantel}}$ |
| Bernoulli'sche Gleichung (nicht kompensiert) | $p + \frac{1}{2} \rho c^2 + \rho gh = const \rightarrow \text{gleich Position 1 und 2}$ |
| Ausflussgesetz von Torricelli | $v_3 = \sqrt{2gh_1}$ |

Der 1. Hauptsatz für offene, stationäre Systeme



Dichte ρ_1 Dichte ρ_2
Querschnitt A_1 Querschnitt A_2

$$I_{m,2} = I_{m,1}$$

$$\rho_1 c_1 A_1 = \rho_2 c_2 A_2$$

Einsetzen der idealen Gasgleichung

$$\frac{c_2}{c_1} = \frac{p_1}{p_2} \frac{T_2}{T_1} \frac{A_1}{A_2}$$

Bernoulli Gleichung (alle einzelnen Terme stellen Leistungen (**W**) dar)

$$I_m \left[\frac{(p_2 - p_1)}{\rho} + \frac{(c_2^2 - c_1^2)}{2} + g(z_2 - z_1) \right] = 0$$

| | |
|--|---|
| Ersten Hauptsatz für offene, stationäre Systeme $h=u+pv$ massenspezifische Form: | $\Delta I_{W_{th}} + \Delta I_{W_p} + \Delta I_{W_{kin}} + \Delta I_{W_{pot}} = I_{th,12} + I_{mech,12}$ $I_m \left[(h_2 - h_1) + \frac{1}{2} (c_2^2 - c_1^2) + g(z_2 - z_1) \right] = I_{th,12} + I_{mech,12}$ $(h_2 - h_1) + \frac{1}{2} (c_2^2 - c_1^2) + g(z_2 - z_1) = w_{th,12} + w_{mech,12}$ |
| $\Delta I_{W_{kin}} = I_m \frac{(c_2^2 - c_1^2)}{2}$ | $\Delta I_{W_{pot}} = I_m g (z_2 - z_1)$ |
| $\Delta I_{W_p} = I_m \left(\frac{p_2}{\rho_2} - \frac{p_1}{\rho_1} \right) = I_m (p_2 v_2 - p_1 v_1)$ | $\Delta I_{W_{th}} = I_m (u_2 - u_1) = I_m c_v (T_2 - T_1)$ |
| Ersten Hauptsatz für offene, stationäre Systeme für Flüssigkeiten Unterschied c_v und c_p verschwindet somit c_L | $I_m \left[c_L (T_2 - T_1) + \frac{1}{\rho} (p_2 - p_1) + \frac{1}{2} (c_2^2 - c_1^2) + g(z_2 - z_1) \right] = I_{th,12} + I_{mech,12}$ |
| Ersten Hauptsatz für offene, stationäre Systeme für Gase | $I_m \left[c_p (T_2 - T_1) + \frac{1}{2} (c_2^2 - c_1^2) \right] = I_{th,12} + I_{mech,12}$ |

Thermodynamische Charakterisierung von Flugzeugturbinen

| | |
|---|--|
| Schubkraft Strahltriebwerk $F_{Schub} = I_m \cdot (c_{out} - c_{in})$ | |
| Leistung Strahltriebwerk $P_{mech} = c_{ein} F_S = I_m c_{ein} (c_{aus} - c_{ein})$ | |
| Gesamtenergiebilanz Turbojets $\frac{I_m}{2} (c_6^2 - c_1^2) = I_{th,34} - I_{th,61} \gg 0$ $\frac{T_4}{T_3} = \frac{T_6}{T_1}$ | |
| | |
| Wirkungsgrad Turbojet | $\eta_i = 1 - \frac{ I_{th,61} }{I_{th,34}} = 1 - \frac{T_6 - T_1}{T_4 - T_3}$ |

Elektrodynamik

Gravitation und Trägheitsfeld

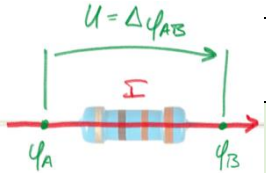
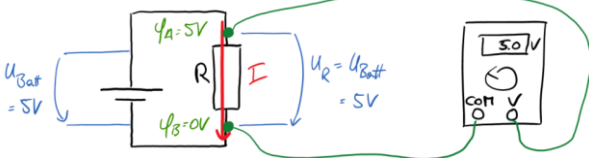
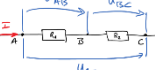

| | |
|---|---|
| | |
| Zentrifugalkraft: $\vec{F}_{ZF} = m\omega^2 r \cdot \frac{\vec{r}}{r}$ | Trägheitsfeld im Innern eines beschleunigten Systems: $\vec{g}_{tr\ddot{a}g} = -\vec{a}$, $\vec{g}_{tr\ddot{a}g} = \vec{g}_t$ $\vec{g}_{lokal} = \vec{g} + \vec{g}_{tr\ddot{a}g}$ $ \vec{g}_{lokal} = g_{lokal} = \sqrt{g_t^2 + g^2}$, falls $\vec{g}_t \perp \vec{g} = g_{lokal} = \sqrt{a^2 + g^2}$ |
| Corioliskraft (z.B. Physiker Ball zu werfen auf drehende Scheibe): $\vec{F}_C = -2m(\vec{\omega} \times \vec{v})$ | Betrag der Zentrifugalkraft: $F_{ZF} = m\omega^2 r$ |
| Betrag der Corioliskraft: $F_C = 2m \cdot \omega v \cdot \sin\angle(\vec{\omega}, \vec{v})$ | |
| Gravitationspotential an einem Punkt P in einem Gravitationsfeld $\vec{g} \rightarrow \varphi_G(P) = -\int_{-\infty}^P \vec{g}(\vec{r}) d\vec{s}$ | |

Das elektrische Feld

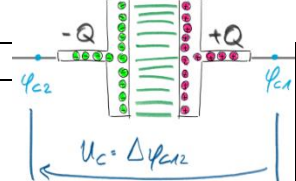
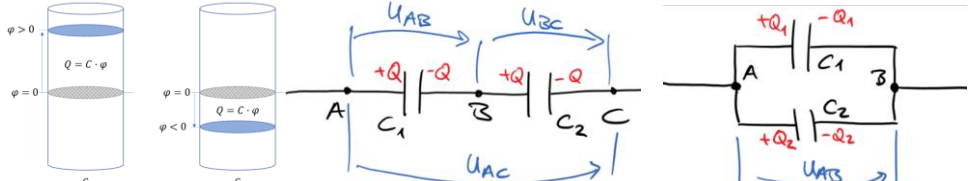
| | |
|---|--|
| $1 \text{ C} = 1 \text{ A} \cdot \text{s}$ | Einheit der Ladung Coulomb (Ampère Sekunden) |
| Elementarladung (e) Elektron minus Proton plus | $e = 1,602\,176\,634 \cdot 10^{-19} \text{ C}$ |

| | |
|--|---|
| Änderungsrate der Ladung im System = Summe über alle zu- und abfließenden Ladungsströme | |
| Ladungsbilanz für ein System | $\dot{Q} = \sum I_{Q,ZU} + \sum I_{Q,ab}$ |
| Das Superpositionsprinzip | Erstes Kirchhoffsches Gesetz / Kontenregel: $\sum I_{Q,ZU} + \sum I_{Q,ab} = 0$ $I_2 + I_3 = I_1$ |
| Einheit des elektrischen Stroms Ampère | $1 \text{ A} = 1 \frac{\text{C}}{\text{s}}$ |
| Coulomb-Kraft zwischen zwei Punktladungen | $\vec{F}_{C,12} = \frac{1}{4\pi\epsilon_0} \cdot \frac{q_1 q_2}{r_{12}^2} \cdot \frac{\vec{r}_{12}}{r_{12}}$ |
| $\epsilon_0 = 8.85419 \cdot 10^{-12} \frac{\text{A} \cdot \text{s}}{\text{V} \cdot \text{m}}$ $\frac{1}{4\pi\epsilon_0} = 8.987 \cdot 10^9 \frac{\text{V} \cdot \text{m}}{\text{A} \cdot \text{s}}$ | elektrischen Feldkonstante ϵ_0 $\vec{F}_{el} = e \cdot \vec{E}$ |
| | Elektrisches Feld einer Punktladung (q und q auch e) $\vec{E}(\vec{r}) = \frac{1}{4\pi\epsilon_0} \cdot \frac{Q}{r^2} \cdot \frac{\vec{r}}{r}$ $ \vec{E} = \frac{1}{4\pi\epsilon_0} \cdot \frac{ q q }{r^2}$ |
| | Coulomb-Kraft auf Probeladung inelektrischem Feld $\vec{F}_C(\vec{r}) = q \cdot \vec{E}(\vec{r})$ |
| <p>A = Flächenvektor E = Elektrisches Feld alpha = Winkel dazwischen</p> | Fluss des elektrischen Feldes \vec{E} durch die Fläche A $\phi = \int_A \vec{E} \cdot d\vec{A}$ $= E \cdot dA \cdot \cos \alpha$ |
| Gauss'sches Gesetz der Elektrostatik | $\oint_A \vec{E} \cdot d\vec{A} = \frac{Q}{\epsilon_0}$ |
| Änderung der potentiellen Gravitationsenergie und Potentialdifferenz | $\Delta E_{\text{pot,G}} = m \cdot \Delta \varphi_G$ |
| Gravitative Potentialdifferenz zwischen zwei Punkten in einem Gravitationsfeld \vec{g} | $\Delta \varphi_G = - \int_{P_1}^{P_2} \vec{g}(\vec{r}) \cdot d\vec{s}$ |
| Gravitationspotential einer Punktmasse | $\varphi_G(r) = -G \frac{M}{r}$ |
| Prozessleistung eines gravitativen Prozesses | $P_G = \Delta \varphi_G \cdot I_m$ |
| Elektrisches Potential an einem Punkt P in einem elektrischen Feld E | $\varphi_E(P) = - \int_{-\infty}^P \vec{E}(\vec{r}) \cdot d\vec{s}$ |
| Änderung der potentiellen elektrischen Energie und Potentialdifferenz | $\Delta E_{\text{pot,E}}(\Delta r) = q \cdot \Delta \varphi_E$ |
| Elektrische Potentialdifferenz zwischen zwei Punkten in einem elektrischen Feld \vec{E} | $\Delta \varphi_E = - \int_{P_1}^{P_2} \vec{E}(\vec{r}) \cdot d\vec{s}$ |
| Elektrisches Potential einer Punktladung | $\varphi_E(r) = \frac{1}{4\pi\epsilon_0} \cdot \frac{Q}{r}$ |
| Prozessleistung eines elektrischen Prozesses (I_Q = Ladungsstrom) | $P_E = \Delta \varphi_E \cdot I_Q$ |
| | Eineinheit der elektrischen Potentialdifferenz/Spaltung Volt $1 \text{ V} = 1 \frac{\text{W}}{\text{A}}$ |

Der elektrische Widerstand

| | | | |
|---|-------------------|--|------------------------|
| Spannung / elektrische Potentialdifferenz $\Delta\varphi_{AB} = \varphi_A - \varphi_B$ | |  | |
| Elektrischer Strom durch Ohm'schen Leiter bei Potentialdifferenz $\Delta\varphi_E \equiv U$ | | $I = \frac{U}{R}$ | |
| Einheit des elektrischen Widerstands Ohm | | $1 \Omega = 1 \frac{V}{A}$ | |
| Leitwert | $G = \frac{1}{R}$ | spezifische Widerstand ρ mit Länge l und Querschnitt A | $R = \rho \frac{l}{A}$ |
|  | | Prozessleistung: $P = U_R \cdot I$ $P(t) = U_R(t) \cdot I(t)$ $\Delta E_{t_1 \rightarrow t_2} = \int_{t_1}^{t_2} U_R(t) \cdot I(t) \cdot dt$ | |
|  $U_{AC} = U_{AB} + U_{BC}$ $= 0.44 V + 4.37 V = 4.81 V$ | | Ersatzwiderstand für Serienschaltung von Ohm'schen Widerständen $R = R_1 + R_2$ | |
|  Ersatzwiderstand für Parallelschaltung von Ohm'schen Widerständen | | $\frac{1}{R} = \frac{1}{R_1} + \frac{1}{R_2}$ | |
| Volumenstrom durch Leitung bei laminarer Strömung und bei Potentialdifferenz Δp | | $I_V = \frac{\Delta p}{R_V}$ | |
| Volumenstrom durch Leitung bei turbulenter Strömung und bei Potentialdifferenz Δp (k = turbulenten hydraulischen Widerstand) | | $I_V = \sqrt{\frac{\Delta p}{k}}$ | |
| Kritischer Volumenstrom Übergang laminar zu turbulent | | $I_{V,krit} = \frac{R_V}{k}$ | |
| Kritischer Druck Übergang laminar zu turbulent | | $\Delta p_{krit} = \frac{R_V^2}{k}$ | |
| Prozessleistung | | $P = \Delta p \cdot I_V$ | |
| Ersatzwiderstände von hydraulischen Widerständen analog zu elektrischen Widerständen | | | |

Die elektrische Kapazität

| | | | |
|--|--|--|--|
| Kondensator (mit der Ladung Q geladen oder auf die Spannung U_C geladen) | |  | |
| Kapazität eines linearen Kondensators (elektrische Kapazität) | | $\frac{Q}{U} = C$ | |
| Einheit der elektrischen Kapazität Farad | | $1 F = 1 \frac{C}{V}$ | |
| Im Kondensator mit Kapazität C gespeicherte Energie bei Ladung auf U | | $W_C = \frac{1}{2} \cdot C \cdot U^2$ | |
|  | | Ersatzkapazität für Serienschaltung von elektrischen Kapazitäten $\frac{1}{C} = \frac{1}{C_1} + \frac{1}{C_2}$ | |
| Ersatzkapazität für Parallelschaltung von elektrischen Kapazitäten | | $C = C_1 + C_2$ | |

Elektrische Kapazität - Lade-, Entlade- und Ausgleichsprozesse

| | |
|---|---|
|  |  |
| Laden eines Kondensators | Entladen eines Kondensators |

| | |
|---|---|
| Spannung eines Kondensators während Ladevorgang | $U_C(t) = U \cdot (1 - e^{-t/\tau})$ |
| Zeitkonstante einer seriellen RC-Schaltung | $\tau = RC$ |
| Ladung eines Kondensators während Ladevorgang | $Q_C(t) = Q_F \cdot (1 - e^{-t/\tau})$ |
| Ladung des Kondensators nach Abschluss Ladevorgangs | $Q_F = C \cdot U$ |
| Spannung eines Kondensators während Entladevorgang | $U_C(t) = U \cdot e^{-t/\tau}$ |
| Ladung eines Kondensators während Entladevorgang | $Q_C(t) = Q \cdot e^{-t/\tau}$ |
| | Ausgleichshöhe = Gesamtes Füllvolumen / Gesamte Grundfläche Ausgleichspotential Kondensatoren $\varphi_{\text{Ausgleich}} = \frac{Q_{1,I} + Q_{2,I}}{C_1 + C_2}$ |
| Energieänderung bei Ladungsaustausch zwischen Kondensatoren | $\Delta W_{\text{Sys}} = \Delta Q \cdot \frac{1}{2} \cdot (\Delta\varphi_1 + \Delta\varphi_2)$ |

Magnetfeld und Lorentz-Kraft

| | | |
|--|--|--|
| | | SI-Einheit des Magnetfelds B ist das Tesla $1 \text{ T} = 1 \frac{\text{N}}{\text{A} \cdot \text{m}}$ Magnetfeld 1 T auf Leiter L 1 m, 1 A Strom durchflossen wird, wirkt Kraft von 1 N |
| Magnetischer Feldfluss | | $\Phi_B = \int_A \vec{B} \cdot d\vec{A}$ |
| Gauss'sches Gesetz des Magnetismus (Da magnetischen Feldlinien aber immer geschlossen) | | $\oint_A \vec{B} \cdot d\vec{A} = 0$ |
| | «Nordrichtung» Richtung des Magnetfeldes (rechte Hand Regel) $\hat{r} = \frac{\vec{r}}{r}$ | Gesetz von Biot-Savart (Stärke des Magnetfelds) $d\vec{B}(\vec{r}) = \frac{\mu_0}{4\pi} \frac{I d\vec{l} \times \hat{r}}{r^2}$ |
| | | Magnetische Feldkonstante $\mu_0 = 1.256 \, 637 \dots \cdot 10^{-6} \frac{\text{N}}{\text{A}^2} \approx 4\pi \cdot 10^{-7} \frac{\text{N}}{\text{A}^2}$ |
| Magnetfeld im Zentrum einer Leiterschleife | | $B = \frac{\mu_0 I}{2r}$ |
| Magnetfeld im Innern einer langen Spule (Windungen N und Länge l) | | $B = \mu_0 \frac{NI}{l}$ |
| Magnetfeld um einen langen geraden Leiter | | $B = \frac{\mu_0 I}{2\pi r}$ |
| Ampèresches Gesetz (∂A den Rand der Fläche A und I ist der Stromfluss durch diese Fläche) | | $\oint_{\partial A} B \cdot d\vec{l} = \mu_0 I$ |
| Magnetische Kraft auf geladenes Teilchen | | $\vec{F}_B = q \vec{v} \times \vec{B}$ |
| Lorentz-Kraft auf geladenes Teilchen (Magnetfeld \vec{B} & elektrisches Feld \vec{E}) | | $\vec{F}_{\text{Lorentz}} = q (\vec{E} + \vec{v} \times \vec{B})$ |
| Magnetische Kraft auf stromdurchflossenes gerades Leiterstück | | $\vec{F} = I \cdot (\vec{l} \times \vec{B})$ |
| Betrag der magnetischen Kraft das Magnetfeld | | $F = I \cdot \sin \angle(\vec{l}, \vec{B})$ |
| | | $B = \frac{F}{I \cdot l \cdot \sin \angle(\vec{l}, \vec{B})}$ |
| Magnetisches Moment einer stromdurchflossenen Leiterschleife | | $\vec{\mu} = I \cdot \vec{A}$ |
| Drehmoment auf eine stromdurchflossene Leiterschleife in einem Magnetfeld | | $\vec{M} = \vec{\mu} \times \vec{B}$ |

Elektromagnetische Induktion

| | |
|--|---|
| Gesetz von Faraday (induzierten Spannung U_{ind} an den Ender der Schleife gemessen) | $U_{\text{ind}} = - \frac{d\phi_{\text{mag}}}{dt}$ |
| | |
| + Durch \vec{E}_{ind} verursachte Ladung an den Klemmen | Messrichtung von U_{ind} entlang positiver Drehrichtung der Schleife |

| | |
|--|---|
| Durch Änderung des magnetischen Feldflusses induziertes elektrisches Feld | $\oint_{\partial A} \vec{E}_{\text{ind}} \cdot d\vec{l} = - \frac{d}{dt} \int_A \vec{B} \cdot d\vec{A}$ |
| Induktivität einer langen Zylinderspule (Konzept der Induktivität, Stromflusses ein Magnetfeld) | $L = \mu_0 \cdot \left(\frac{N}{l}\right)^2 \cdot A$ |
| Selbstinduktionsspannung und Induktivität | $U_L = L \dot{I}$ |
| Einheit der Induktivität ist das Henry | $1 \text{ H} = 1 \frac{\text{V}}{\text{A/s}}$ |
| Induktiv gespeicherte Energie | $E_L = \frac{1}{2} L I^2$ |
| Energiedichte des Magnetfelds | $w_{\text{mag}} = \frac{B^2}{2 \mu_0}$ |
| RL-Schaltkreis , Selbstinduktion → Stromfluss beim «Einschalten» nicht sofort sein Max | $I(t) = \frac{U_0}{R} (1 - e^{-t/\tau})$ |
| beim «Ausschalten» nicht sofort auf null fällt | $I(t) = \frac{U_0}{R} e^{-t/\tau}$ |
| Zeitkonstante RL-Schaltkreis | $\tau = \frac{L}{R}$ |
| Kapazität C mit einer Induktivität L in Serie → Oszillator | RLC-Schwingkreis |
| Eigenfrequenz LC-Schaltkreis (ohne Dämpfung, R=0) | $\omega_0 = \frac{1}{\sqrt{LC}}$ |
| Spannung am Kondensator | $U_C(t) = U_{C,0} \cos(\omega t)$ |
| Dämpfung und Schwingungsfrequenz (R not 0) | $\gamma = \frac{R}{2L} / \omega_d = \sqrt{\omega_0^2 - \gamma^2}$ |
| Amplitude der Spannung am Kondensator nimmt dann exponentiell ab | $U_C(t) = U_{C,0} \cdot e^{-\gamma t} \cdot \cos(\omega_d t)$ |
| Resonanzüberhöhung bei schwacher Dämpfung | $Q \approx \frac{A(\omega_R)}{A_{\text{stat}}}$ |

Kreisbewegung und Trägheitskräfte

| | | |
|--|---|--|
| | Mittlere Winkelgeschwindigkeit: $\bar{\omega}_{t_1 \rightarrow t_2} = \frac{\theta_1 - \theta_2}{t_1 - t_2} = \frac{\Delta\theta}{\Delta t}$ | |
| | Momentanen Winkelgeschwindigkeit [rad/s]: $\omega = \lim_{\Delta t \rightarrow 0} \frac{\Delta\theta}{\Delta t} = \frac{d\theta(t)}{dt} = \dot{\theta}(t)$ | |
| | Bogenlänge auf Kreis mit Radius r (Position): $s(t) = \theta(t) \text{ in Radiant} \cdot r$ | |
| | Zusammenhang Bahngeschwindigkeit und Winkelgeschwindigkeit : $v(t) = \omega(t) \cdot r$ | |
| | Gleichförmige Kreisbewegung: | |
| | <ul style="list-style-type: none"> ➤ Winkelgeschwindigkeit konstant $\omega(t) = \omega$ ➤ Bahngeschwindigkeit konstant $v(t) = v$ ➤ Winkel Berechnung $\theta(t) = \omega t$ | |
| | Radialbeschleunigung bei gleichförmiger Kreisbewegung: $\vec{a}_r(t) = -\omega^2 \cdot \vec{r}(t)$ | Betrag Radialbeschleunigung bei gleichförmiger Kreisbewegung: $\ \vec{a}_r\ = a_r = \omega^2 \cdot r = \frac{v^2}{r}$ |
| | Periode T bei gleichförmiger KB (Wiederholung) [s] | $T = \frac{2\pi}{\omega}$ |
| Beschleunigungsvektor in tangentielle und radiale Komponenten | $\vec{a}(t) = \vec{a}_t(t) + \vec{a}_r(t)$ $\dot{v}(t) = \vec{a}_t(t) \perp \vec{a}_r(t) = \frac{v^2(t)}{r}$ Falls $\vec{v} = \text{const}$, dann $\vec{a}_t(t) = 0$ | |
| Zentripetalkraft IMMER eine resultierende Kraft | $\vec{F}_{\text{res}}(t) = \underbrace{\vec{F}_{\text{res},t}(t)}_{\text{tangential}} + \underbrace{\vec{F}_{\text{res},r}(t)}_{\text{zentripetal}}$ $= m_{\text{konst.}} \cdot \vec{a}(t)$ | |